

# Пояснения к решениям тестовых заданий по ЦОС.

Реваев Дмитрий

## 1. Линейная свёртка двух векторов.

Было необходимо найти элементы последовательности  $z(k)$ , заданной выражением:

$$z(k) = \sum_{n=0}^{N-1} x(n) \cdot y(k-n),$$

где  $x(n)$  и  $y(n)$  – последовательности длины  $N$ , а индекс  $k \in [0 \dots 2(N-1)]$ . Последовательности  $x(n)$  и  $y(n)$  имеют  $N$  элементов с ненулевыми значениями. Это элементы с индексами  $m \in [0 \dots N-1]$  Реализовано два варианта вычисления линейной свёртки: прямой и с использованием циклической свёртки. Вычисление свёртки прямым методом при  $N = 2$  описывается следующими равенствами:

$$z(k) = \sum_{n=0}^1 x(n) \cdot y(k-n), k \in [0 \dots 2]$$

$$z(0) = x(0) \cdot y(0) + x(1) \cdot y(-1) = x(0) \cdot y(0)$$

$$z(1) = x(0) \cdot y(1) + x(1) \cdot y(0)$$

$$z(2) = x(0) \cdot y(2) + x(1) \cdot y(1) = x(1) \cdot y(1)$$

Исходя из выражений выше, для вычисления элементов  $z(0), z(1), z(2)$  требуется 4 операции умножения на переменную и одна операция сложения. Стоимость выполнения этих операций согласно приведённой таблице:  $4 \cdot 8 + 1 \cdot 1 = 33$ .

Прямой метод нахождения линейной свёртки последовательностей длины  $N = 3$ :

$$z(k) = \sum_{n=0}^2 x(n) \cdot y(k-n), k \in [0 \dots 4]$$

$$z(0) = x(0) \cdot y(0) + x(1) \cdot y(-1) + x(2) \cdot y(-2) = x(0) \cdot y(0)$$

$$z(1) = x(0) \cdot y(1) + x(1) \cdot y(0) + x(2) \cdot y(-1) = x(0) \cdot y(1) + x(1) \cdot y(0)$$

$$z(2) = x(0) \cdot y(2) + x(1) \cdot y(1) + x(2) \cdot y(0)$$

$$z(3) = x(0) \cdot y(3) + x(1) \cdot y(2) + x(2) \cdot y(1) = x(1) \cdot y(2) + x(2) \cdot y(1)$$

$$z(4) = x(0) \cdot y(4) + x(1) \cdot y(3) + x(2) \cdot y(2) = x(2) \cdot y(2)$$

Для вычисления значений элементов последовательности  $z(n)$  потребуется 9 операций умножения на переменную и 4 операции сложения. Стоимость выполнения этих операций:  $9 \cdot 8 + 4 \cdot 1 = 76$ .

Прямой метод вычисления линейной свёртки последовательностей, состоящих из  $N$  ненулевых элементов, требует проведения  $N^2$  операций умножения и  $(N-1)^2$  операций сложения общей стоимостью  $8N^2 + (N-1)^2 = 9N^2 - 2N + 1$ .

Второй метод вычисления свёртки основан на следствии из теоремы о свёртке и алгоритме быстрого преобразования Фурье. К последовательностям  $x(n)$  и  $y(n)$  конечной длины применимо следующее свойство дискретного преобразования Фурье:

$$\mathcal{DFT}[x(n) * y(n)] = \mathcal{DFT}[x(n)] \cdot \mathcal{DFT}[y(n)],$$

где  $\mathcal{DFT}[x(n)] = \sum_{n=0}^{N-1} x(n) \exp\left(-i \frac{2\pi}{N} nk\right)$ ,  $n, k = 0 \dots N-1$  и

$x(k) * y(k) = \sum_{n=0}^{N-1} x(n) y((k-n) \bmod N)$  – операция циклической свёртки,

$y((k-n) \bmod N)$  – сигнал, циклически задержанный на  $n$  отсчётов относительно исходного. Значения линейной свёртки можно определить, вычислив циклическую свёртку последовательностей, дополненных в конце  $N-1$  нулями:

$$z(k) = \sum_{n=0}^{2N-1} x(n) y((k-n) \bmod (2N-1)).$$

Циклическую свёртку двух последовательностей можно найти, выполнив обратное дискретное преобразование Фурье над произведением их спектров ДПФ. Расчёт ДПФ целесообразно провести с помощью алгоритма быстрого преобразования Фурье:

$$z(n) = \mathcal{IFFT}[\mathcal{FFT}[x(n)] \mathcal{FFT}[y(n)]].$$

Процесс расчёта циклической свёртки сигналов  $a(n)$  и  $b(n)$ , содержащих по  $N$  отсчётов, показан на рисунке ниже:

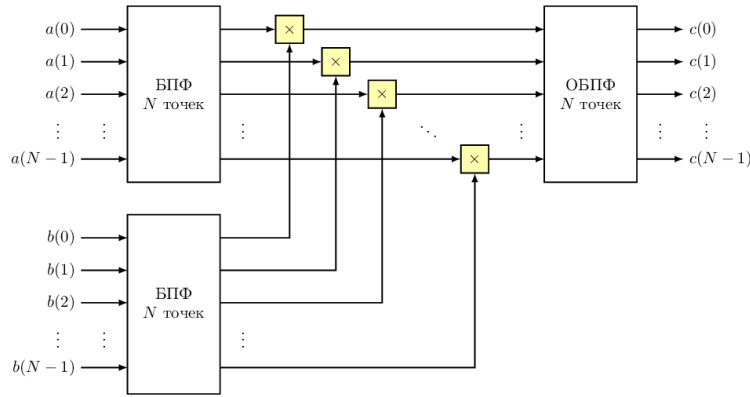


Рис. 1: Вычисление циклической свёртки на основе алгоритма БПФ.

Наиболее эффективно алгоритмы БПФ работают с массивами, размерность которых является целой степенью двойки. Пусть  $M = 2^L > 2N-1$  – ближайшее такое число к размеру последовательности элементов линейной свёртки. Для нахождения линейной свёртки необходимо вычисление трёх  $M$ -точечных БПФ и  $M$  комплексных умножений. Алгоритм  $2^L$ -точечного БПФ с прореживанием по времени/частоте имеет  $L$  уровней разделения-объединения. На первых двух уровнях производится двух- и четырёхточечное ДПФ с умножением на тривиальные коэффициенты:  $\pm 1, \pm i$ , поэтому общее количество операций комплексного умножения на нетривиальную константу –  $\frac{3M}{2}(\log_2 M - 2)$ , а операций комплексного умножения на переменную –  $M \log_2 M$ . Количество операций комплексного сложения –  $3M \log_2 M$ . Одна операция комплексного умножения требует 4 операции умножения и две операции сложения, одно комплексное сложение – две операции сложения. Значит, стоимость вычисления свёртки равна  $14 \cdot \frac{3M}{2}(\log_2 M - 2) + 34M + 6M \log_2 M = 27M \log_2 M - 8M$ . Тогда критерий использования второго метода свёртки может быть описан неравенством:

$$9N^2 - 2N + 1 > M(27 \log_2 M - 8),$$

где  $N$  – количество ненулевых элементов последовательностей  $x(n)$  и  $y(n)$ , а  $M$  – ближайшая к  $2N-1$  степень двойки.

Для  $N = 16$  в третьем пункте задания критерий не выполняется, так как  $9 \cdot 16^2 - 2 \cdot 16 + 1 < 32 \cdot (27 \cdot 5 - 8)$ .

## 2. Передискретизация сигнала с рациональным коэффициентом.

При изменении частоты сэмплирования (передискретизации) сигнала по имеющимся отсчётам, соответствующим частоте дискретизации  $F_s$ , вычисляются отсчёты сигнала, соответствующие другой частоте дискретизации  $F_{res}$ . Идеальная передискретизация эквивалентна восстановлению непрерывного сигнала по его отсчётам с последующей дискретизацией его на новой частоте. Точное значение исходного непрерывного сигнала в момент времени  $t$  определяется следующим выражением:

$$x(t) = \sum_i x(t_i) \frac{\sin \frac{\omega_s}{2}(t - t_i)}{\frac{\omega_s}{2}(t - t_i)},$$

где  $x(t_i)$  –  $i$ -ый отсчёт сигнала,  $\omega_s = 2\pi F_s$  – циклическая частота дискретизации. Функция  $\frac{\sin \frac{\omega_s}{2}(t - t_i)}{\frac{\omega_s}{2}(t - t_i)}$  не является финитной, поэтому для вычисления значения сигнала в данной точке необходимо обработать бесконечное число его отсчётов. Для реальных сигналов с конечной длительностью применяются восстанавливающие фильтры с импульсной характеристикой  $h(t)$ , частотная характеристика которых близка к частотной характеристике идеального фильтра нижних частот:

$$x(t) = \sum_i x(t_i) h(t - t_i).$$

Частные случаи передискретизации: децимация с целым коэффициентом (уменьшение частоты дискретизации в целое число раз), интерполяция с целым коэффициентом (увеличение частоты дискретизации в целое число раз), комбинация предыдущих двух методов (изменение частоты дискретизации в рациональное число раз).

Децимация цифрового сигнала с целым коэффициентом производится в два этапа: удаление высокочастотных составляющих, не удовлетворяющих условиям теоремы Котельникова для новой частоты дискретизации, отбрасывание лишних отсчётов. При уменьшении частоты дискретизации в  $M$  раз сохраняется каждый  $M$ -ый отсчёт. Интерполяция позволяет увеличить частоту дискретизации в целое или дробное число раз с помощью вычисления значений сигнала в промежуточных отсчётах. Для этого на место этих промежуточных отсчётов ставятся нули, далее сигнал проходит цифровой фильтр нижних частот. Выход сигнала нормируется умножением на коэффициент интерполяции. Для изменения частоты дискретизации в  $\frac{L}{M}$  раз можно последовательно произвести интерполяцию с коэффициентом  $L$  и децимацию с коэффициентом  $M$ .

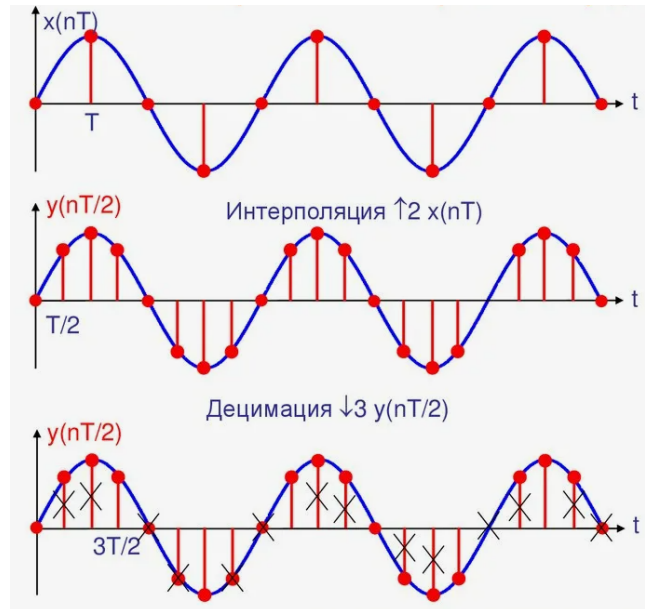


Рис. 2: Передискретизация сигнала с коэффициентом  $\frac{2}{3}$ .

При этом фильтрацию сигнала достаточно произвести всего один раз: между интерполяцией и децимацией сигнала.

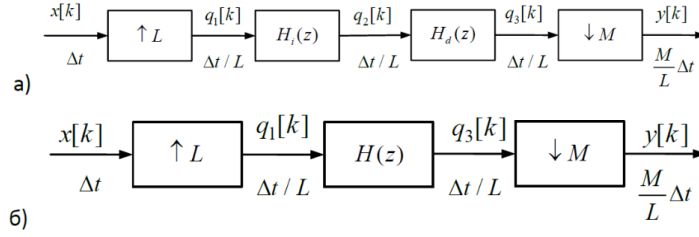


Рис. 3: Система однократной передискретизации.

На рис. а) цифровой фильтр с передаточной функцией  $H_i(z)$  относится к блоку однократной интерполяции. Цифровой фильтр с передаточной функцией  $H_d(z)$  относится к блоку однократной децимации. Оба фильтра работают на одной частоте дискретизации  $f_s = L/\Delta t$ . Это обстоятельство позволяет объединить два фильтра в один с передаточной функцией  $H(z) = H_i(z)H_d(z)$ . Недостатком данного метода является необходимость фильтрации сигнала на повышенной в  $L$  раз частоте дискретизации, что требует значительных вычислительных ресурсов.

Для выполнения передискретизации сигнала с коэффициентом  $4/5$  было решено выделять группы по 6 отсчётов с перекрытием в один отсчёт: 6-ой отсчёт  $n$ -ой группы – 1-ый отсчёт в  $(n+1)$ -ой группе. По значениям этих отсчётов были вычислены значения трёх промежуточных отсчётов с помощью интерполяционного полинома Лагранжа. В качестве отсчётов сигнала с новой частотой дискретизации  $F_{res} = \frac{4}{5}F_s$  из каждой такой группы был взят первый отсчёт без изменений и следующие за ним три промежуточных отсчёта.

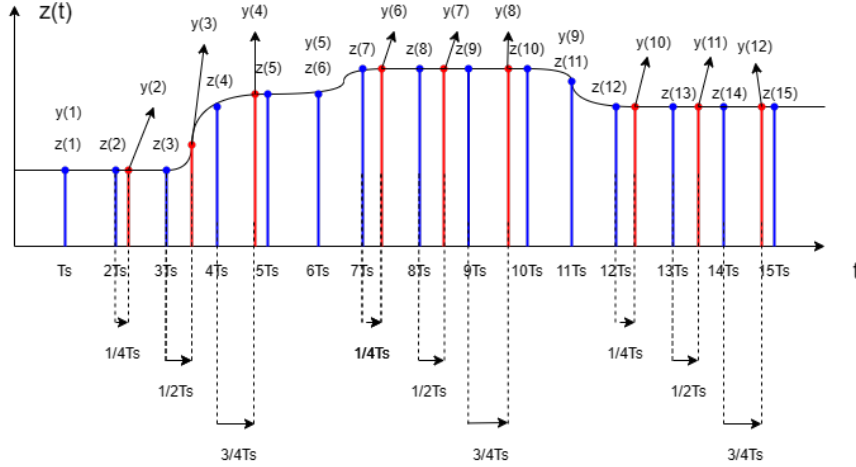


Рис. 4: Передискретизация сигнала с коэффициентом  $\frac{4}{5}$ .

На рисунке выше синими точками показаны значения отсчётов исходного сигнала  $z(n)$  с шагом дискретизации  $T_s = 1/F_s$ , красными – значения промежуточных отсчётов. Промежуточные значения были вычислены с помощью кубической интерполяции по четырём точкам. В общем виде выражение для нахождения этих значений выглядит так:

$$\begin{aligned}
z((n+\mu)T_s) = & \left(-\frac{\mu^3}{6} + \frac{\mu^2}{2} - \frac{\mu}{3}\right)z((n-1)T_s) + \\
& + \left(\frac{\mu^3}{2} - \mu^2 - \frac{\mu}{2} + 1\right)z(nT_s) + \\
& + \left(-\frac{\mu^3}{2} + \frac{\mu^2}{2} + \mu\right)z((n+1)T_s) + \\
& + \left(\frac{\mu^3}{6} - \frac{\mu}{6}\right)z((n+2)T_s),
\end{aligned} \tag{1}$$

где  $\mu \in (0, 1)$  – дробный шаг.

Значения первых пяти отсчётов сигнала  $y(n)$  с новой частотой дискретизации:

$$y(1) = z(1), \quad y(2) = z(2 + 1/4), \quad y(3) = z(3 + 1/2), \quad y(4) = z(4 + 3/4), \quad y(5) = z(6).$$

Следующие три промежуточных значения  $y(6), y(7), y(8)$  вычислены по значениям исходного сигнала в точках  $z(6), \dots, z(11)$ . Уравнение (1) может быть переписано следующим образом:

$$z((n+\mu)T_s) = \begin{pmatrix} z((n-1)T_s) & z(nT_s) & z((n+1)T_s) & z((n+2)T_s) \end{pmatrix} \cdot \begin{pmatrix} -1/6 & 1/2 & -1/3 & 0 \\ 1/2 & -1 & -1/2 & 1 \\ -1/2 & 1/2 & 1 & 0 \\ 1/6 & 0 & -1/6 & 0 \end{pmatrix} \cdot \begin{pmatrix} \mu^3 \\ \mu^2 \\ \mu \\ 1 \end{pmatrix}$$

На рисунке ниже представлена схема цифровой передискретизации сигналов на основе интерполяции. Она содержит четыре КИХ-фильтра, рассчитывающих коэффициенты полинома. Расчёт полинома производится по схеме Горнера.

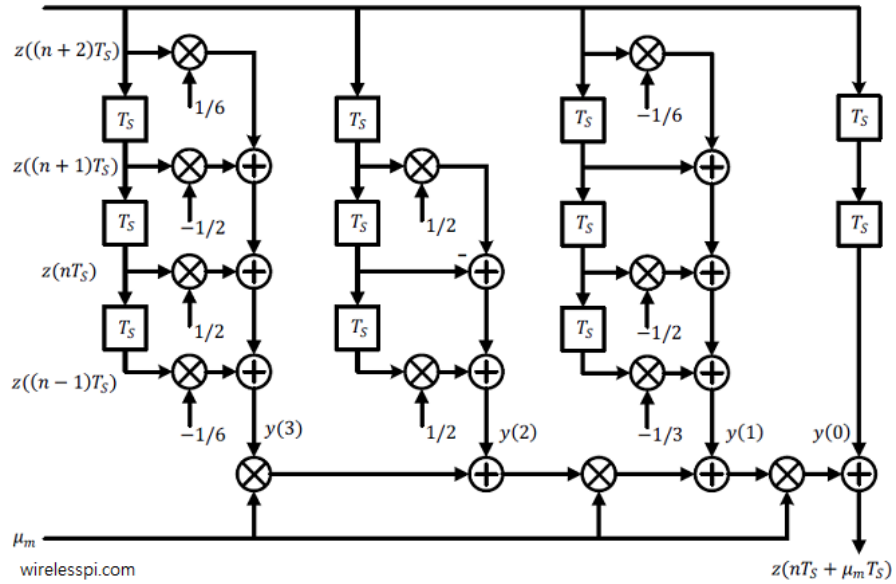


Рис. 5: Структура фильтра Фарроу для кубической интерполяции Лагранжа.

Для осуществления передискретизации был использован случайный сигнал на выходе фильтра Баттерворта 4-го порядка с частотой среза  $\nu_c = 1/6$ .

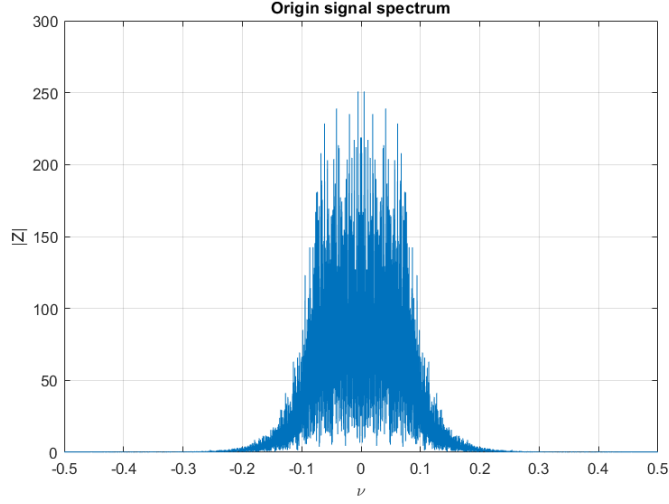


Рис. 6: Спектр исходного сигнала в нормированных частотах.

В результате передискретизации сигнала с коэффициентом  $4/5$  получился сигнал той же длительности, содержащий на 20% меньше отсчётов. В полосе  $[0, 0.2\nu]$  для исходного сигнала и  $[0, 0.25\nu]$  – для передискретизованного нормализованная среднеквадратичная ошибка менее -13dB.

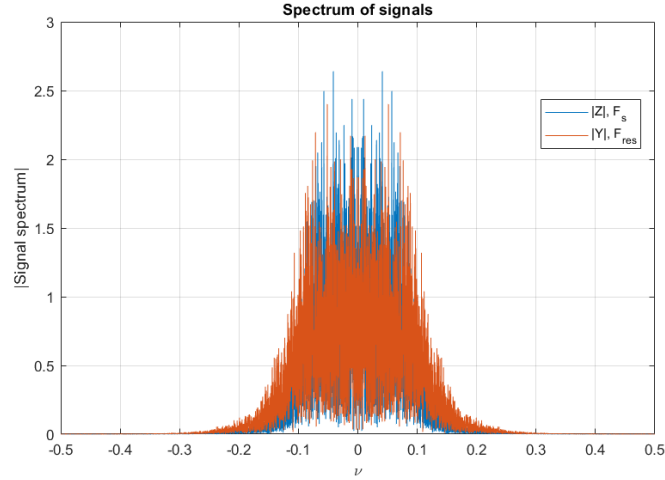


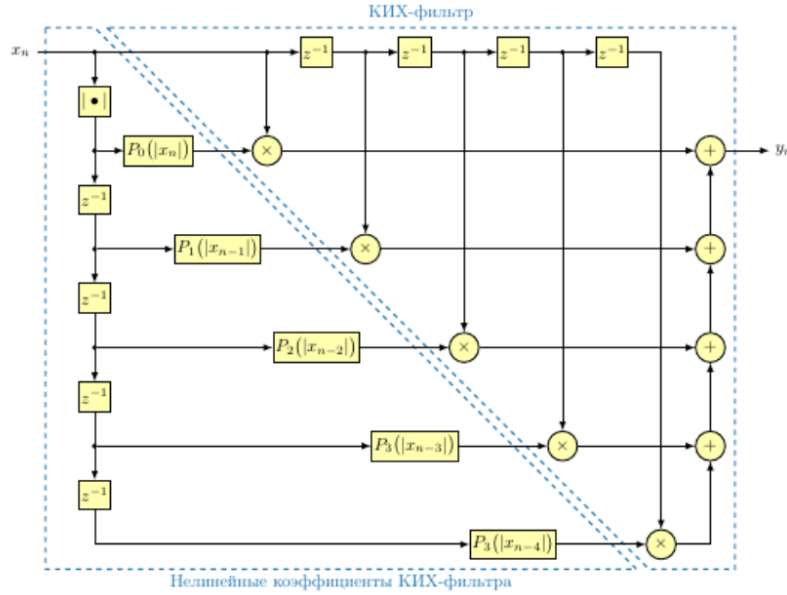
Рис. 7: Спектры исходного и передискретизованного сигналов в нормированных частотах.

### 3. Адаптивная фильтрация.

Дана нелинейная система вида

$$y(n) = \sum_{k=0}^{K-1} a_k x(n-k) + b_k x(n-k)|x(n-k)|^2 + c_k x(n-k)|x(n-k)|^4,$$

где  $x(n)$  и  $y(n)$  – сигнал на входе и выходе нелинейной системы,  $a, b, c$  – ненулевые коэффициенты, истинные значения и количество  $K$  которых неизвестны. Для оценки неизвестных коэффициентов системы была выбрана нелинейная полиномиальная модель с памятью:



Эта модель представляет собой КИХ-фильтр, коэффициенты которого есть полиномы  $P_k(|x(n-k)|)$ , зависящие от модуля задержанных отсчётов входного сигнала  $x(n-k)$ . Её выход может быть записан как

$$y'(n) = \sum_{k=0}^{K-1} x(n-k) \sum_{q=0}^Q \omega_{k,q} |x(n-k)|^{2q} = \sum_{k=0}^{K-1} x(n-k) P_k(|x(n-k)|),$$

где  $Q = 2$  – число, определяющее порядок нелинейности системы и адаптивного фильтра,  $\omega_{k,0} = a'_k, \omega_{k,1} = b'_k, \omega_{k,2} = c'_k$  – коэффициенты многочлена  $P_k(|x(n-k)|)$ , которые также являются оценками неизвестных коэффициентов нелинейной системы. Выход полиномиальной модели можно записать в терминах вектора состояния фильтра  $y(n) = \mathbf{u}_n^T \mathbf{w}$ , где  $\mathbf{u}_n^T = (x(n) \quad x(n)|x(n)|^2 \quad x(n)|x(n)|^4 \quad \dots \quad x(n-K+1) \quad x(n-K+1)|x(n-K+1)|^2 \quad x(n-K+1)|x(n-K+1)|^4) \in \mathbb{C}^{1 \times K(Q+1)}$ ,

а  $\mathbf{w} = (\omega_{0,0} \quad \omega_{0,1} \quad \omega_{0,2} \quad \dots \quad \omega_{K-1,0} \quad \omega_{K-1,1} \quad \omega_{K-1,2})^T \in \mathbb{C}^{K(Q+1) \times 1}$ .

Теперь задача нелинейной адаптации может быть сведена к поиску коэффициентов полиномов, обеспечивающих минимум среднего квадрата ошибки:

$$J(\mathbf{w}) = \mathbf{E}[|e|^2] = \sum_{n=0}^{N-1} |e_n|^2 = \sum_{n=0}^{N-1} (\hat{y}(n) - \mathbf{u}_n^T \mathbf{w})^2 \rightarrow \min_{\mathbf{w}},$$

где  $\hat{y}(n)$  – зашумленный сигнал на выходе нелинейной системы длительностью  $N$  отсчётов.

Перейдём от суммы к скалярному произведению векторов ошибок:

$$J(\mathbf{w}) = \mathbf{E}[|e|^2] = \sum_{n=0}^{N-1} |e_n|^2 = \mathbf{e}^T \mathbf{e} = (\hat{\mathbf{y}} - \mathbf{U}\mathbf{w})^T (\hat{\mathbf{y}} - \mathbf{U}\mathbf{w}), \text{ где матрица состояния входного сигнала:}$$

$$\mathbf{U} = \begin{pmatrix} x(0) & \dots & x(0)|x(0)|^4 & \dots & 0 & 0 & 0 \\ \vdots & \vdots & \vdots & \vdots & \vdots & \vdots & \vdots \\ x(K-1) & \dots & x(K-1)|x(K-1)|^4 & \dots & x(0) & \dots & x(0)|x(0)|^4 \\ \vdots & \vdots & \vdots & \vdots & \vdots & \vdots & \vdots \\ x(N-1) & \dots & x(N-1)|x(N-1)|^4 & \dots & x(N-K) & \dots & x(N-K)|x(N-K)|^4 \end{pmatrix}$$

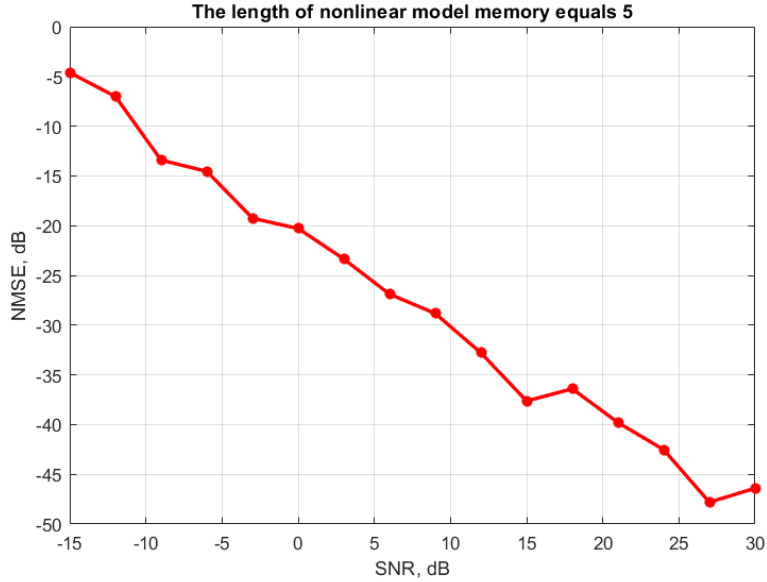
$J(\mathbf{w})$  – квадратичная функция вещественного векторного аргумента. Её можно минимизировать, найдя и приравняв к нулю вектор градиента  $\nabla J(\mathbf{w})$ :

$$\begin{aligned}\nabla J(\mathbf{w}) &= \frac{\partial}{\partial \mathbf{w}^T} J(\mathbf{w}) = \frac{\partial}{\partial \mathbf{w}^T} (\hat{\mathbf{y}} - \mathbf{U}\mathbf{w})^T (\hat{\mathbf{y}} - \mathbf{U}\mathbf{w}) = \frac{\partial}{\partial \mathbf{w}^T} (\mathbf{w}^T \mathbf{U}^T \mathbf{U} \mathbf{w} - 2\mathbf{w}^T \mathbf{U}^T \hat{\mathbf{y}} + \hat{\mathbf{y}}^T \hat{\mathbf{y}}) = \\ &= \left( (\mathbf{U}^T \mathbf{U})^T + \mathbf{U}^T \mathbf{U} \right) \mathbf{w} - 2\mathbf{U}^T \hat{\mathbf{y}} = 2\mathbf{U}^T \mathbf{U} \mathbf{w} - 2\mathbf{U}^T \hat{\mathbf{y}}.\end{aligned}$$

Приравняв градиент к нулю, получим систему линейных алгебраических уравнений, решением которой является LS-оценка коэффициентов нелинейной системы:

$$\mathbf{w} = (\mathbf{U}^T \mathbf{U})^{-1} \mathbf{U}^T \hat{\mathbf{y}}.$$

При моделировании данной задачи было сделано следующее: сгенерирован комплексный сигнал, который был в соотношении 1:9 поделен на обучающую и тестовую выборку. Задан коэффициент памяти нелинейной модели  $K$  и сгенерировано  $3K$  комплексных случайных чисел, соответствующих коэффициентам  $a_k, b_k, c_k$ . Для получения выхода системы была составлена матрица состояний, которая умножалась на заданные коэффициенты. К сигналу на выходе системы добавлялся БГШ со значением SNR в диапазоне от -15 до 30 dB. Минимизация ошибки мощности производилась по обучающей выборке методом LS-оценки в итеративном процессе. На каждой итерации память нелинейной полиномиальной модели увеличивалась на единицу (добавлялось три коэффициента). Итеративный процесс выполнялся до тех пор, пока уменьшалась нормализованная мощность ошибки (критерий завершения цикла на  $i$ -ой итерации:  $|\mathbf{e}^{(i)}|^2 / |\hat{\mathbf{y}}|^2 > |\mathbf{e}^{(i-1)}|^2 / |\hat{\mathbf{y}}|^2$ ). Качество минимизации мощности ошибки для различных значений  $K$  памяти нелинейной системы в наблюдаемом диапазоне значений отношения сигнал/шум измерялось по критерию нормализованной среднеквадратичной ошибки на тестовой выборке отсчётов выходного сигнала системы.





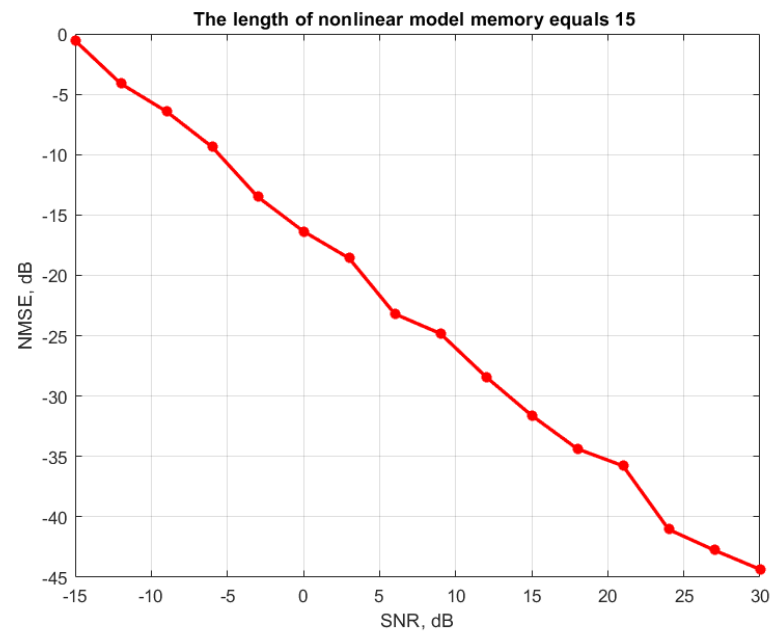
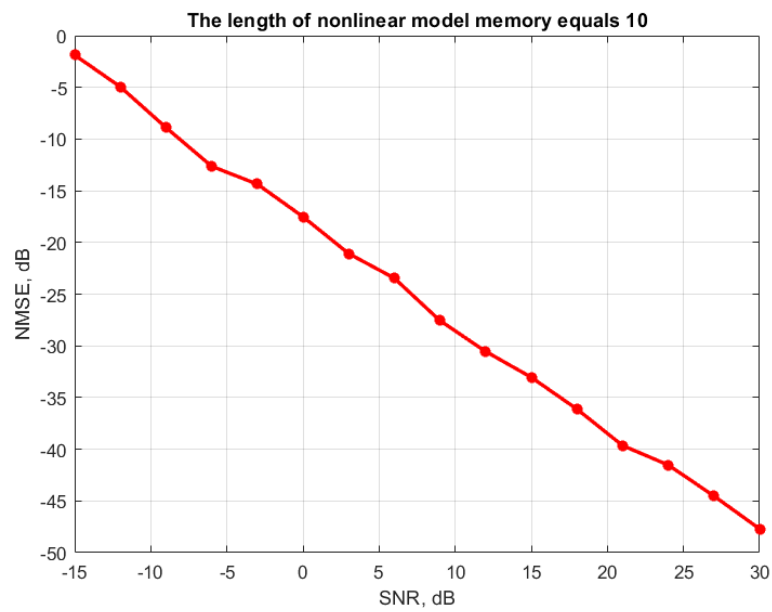


Рис. 8: Зависимость нормализованной среднеквадратичной ошибки от отношения сигнал/шум при различных значениях длины истории нелинейной системы.